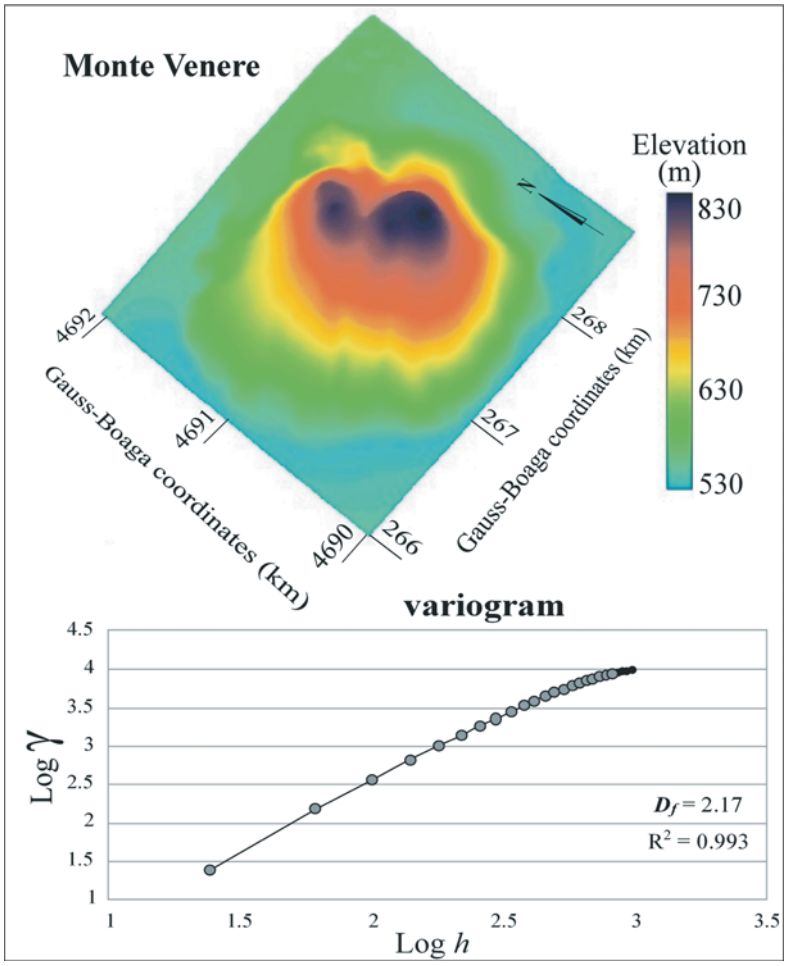

Fig. 9. DEM of Monte Venere cone (vertical exaggeration = 6) and corresponding variogram, computed to calculate D_f values of the topographic surface. Grey points are considered for the linear regression.

A second consequence of D_f dependence on geometry is that, once a specific agent is taken into account, this parameter may reflect the intensity of morphogenetic processes. This has interesting implications for the morphological study of volcanic relief, since as the emplacement of volcanic products levels pre-existent topography, it represents the starting point of erosional processes whose intensity depends on the time-span over which morphogenesis has occurred. Thus, D_f values reflect – within the same volcanic complex – the relative ages of volcanic products.

Fractal analysis of the topographic surfaces provided further results and generally indicate a strong dependence of the parameter on regional morphological setting. Comparing the three volcanic area, similar D_f values have been obtained, with respect to the wider range resulting from the comparison between different landscapes (Della Seta et al. 2003).

Two possible conclusions are as follows.

a) Fractal dimensions of contour lines reflect the activity of exogenous agents. They may also help to typify the main morphogenetic agent, allowing a comparison of the degree of intensity of a given dominant process operating in different areas. Within individual volcanic complexes, fractal dimension provides an estimate of the relative age of surface deposits, which corresponds to the time-span over which the exogenous agents have been operating.

b) Fractal dimensions of DEM-computed topographic surfaces, on the contrary, are influenced by regional morphostructures, generally ascribed to the contribution of endogenous factors. This parameter may be evidence that the overall morphology of a region has been mainly influenced by the total amplitude of relief.

Acknowledgements

This research was funded by the Ministry for Instruction, University and Research (MIUR) – Director of Research, Prof. E. Lupia Palmieri. Authors thank the referees for their critical reviews, and particularly Prof. E.B. Joyce and Prof. H. Régnauld for their encouraging comments. Particular thanks to Prof. C. Caputo and to Dr. D. Bordet (F.A.O. – U.N., Rome) for their help with the German and French translation of the summary. Finally, special gratitude is expressed to Prof. D. Chester, for the careful review of the English, and to Prof. J.-C. Thouret, for his unlimited patience and helpfulness.

References

Barberi, F., Innocenti, F., Ferrara, G., Keller, J. & Villari, L. (1974): Evolution of Eolian Arc volcanism (Southern Tyrrhenian Sea). – Earth Planet. Sci. Lett. **21:** 269–276.

Barca, D. & Ventura, G. (1991): Evoluzione vulcano-tettonica dell'Isola di Salina (Arcipelago delle Eolie). – Mem. Soc. Geol. It. **47:** 401–415.

Beer, T. & Borges, M. (1993): Horton's laws and the fractal nature of stream. – Water Resour. Res. **29:** 1475–1487.

Bertagnini, A. & Sbrana, A. (1986): Il vulcano di Vico: stratigrafia del complesso vulcanico e sequenze eruttive delle formazioni piroclastiche. – Mem. Soc. Geol. It. **35:** 699–713.

Brancaccio, L., Cinque, A., Romano, P., Rosskopf, C. & Russo, F. (1991): Geomorphology and neotectonic evolution of a sector of the Tyrrhenian flank of the southern Apennines (Region of Naples, Italy). – Z. Geomorph. N.F., Suppl.-Bd. **82:** 47–58.

Carr, J.R. (1995): Numerical Analysis for the Geological Sciences. – 592 pp.; Prentice Hall, Englewood Cliffs, NJ.

Chao, P.C. (1995): Landform simulation and the fractal properties of topography on Taiwan. – Master's Thesis, National Cheng kung University, Tainan, Taiwan.

Cheng, Q., Russell, H., Sharpe, D., Kenny, F. & Qin, P. (2001): GIS-based statistical and fractal/multifractal analyses of surface stream patterns in the Oak Ridges Moraine. – Comput. Geosci. **27:** 513–526.

Cioni, R., Santacroce, R. & Sbrana, A. (1999): Pyroclastic deposits as a guide for reconstructing the multi-stage evolution of the Somma-Vesuvius Caldera. – Bull. Volcanol. **60:** 207–222.

Del Monte, M., Fredi, P., Lupia Palmieri, E. & Salvini, F. (1999): Fractal analysis to define the drainage network geometry. – Boll. Soc. Geol. It. **118:** 167–177.

of the area indicates an oblique base surface of the volcanic bodies, rising roughly from west to east (Szakács & Seghedi 1995). Thus, for the two Călimani volcanic units, the base level has been estimated by interpolating the elevation values at the western and eastern extremities of their perimeters.

ST. For the central units of the ST, Kaličiak et al. (1996) presented cross-sections through the Bradlo (Kőszál), Hradisko (Várhegy) and Bogota (Dargói-hegy) volcanoes. There, the suggested base levels (100 m, 0 m and –200 m a.s.l., respectively) are significantly lower than estimates using the average altitude of the respective perimeters (see Fig. 3). Due to the infill in peripheral basins (discussed above), the lower base level values may be considered more reliable. However, for comparison, in the calculations both methods (i.e., surface and subsurface delimitation) have been applied. We have also used –200 m base levels for the northernmost ST units.

For the southern part of ST (the Tokaj Mts.), the base level of the volcanic bodies can also be estimated using the average altitude of the perimeter (154 m a.s.l.). This value fits to the southward increasing base level series indicated by Kaličiak et al. (1996) for the Slánské Mts. In contrast, some drillings in the Tokaj Mts. crossed subsurface volcanic masses several hundred metres thick (e.g. Baskó-3, Kishuta-1, Telkibánya-1 boreholes: cf. Gyarmati 1977, Pécskay & Molnár 2000, Gyarmati pers. comm.). However, regional Bouguer anomaly maps (Szafián et al. 1997, Tari et al. 1999), do not support significant base level differences between the Slánské and Tokaj Mts. With regard to local thickenings of volcanic rocks indicated by boreholes, we calculated with a 100 m base level.

Fig. 2. Shaded relief map of the East Carpathian Călimani(Kelemen) – Gurghiu(Görgény) – Harghita (Hargita) Mountains (CGH, to the right) and the Northwest Carpathian Slánské(Szalánci) – Tokaj Mountains (ST, to the left). Note that shading is not uniform in the two images. (In the ST, the elevation range is 100–1000 m, and in the CGH, it is 600–1800 m.) White lines indicate cross-sections as appear in Fig. 4.
Numbers of volcanoes:
CGH: CĂLIMANI (KELEMEN) MOUNTAINS: 1 – Moldovanul (Moldovánka); 2 – Central Călimani (Kelemen) Mountains, including cones a: Lucaciul (Lukács-szikla), b: Tămăul (Tamó), c: Rusca-Tihu (Ruszka-Tiha), d: Călimani (Kelemen); GURGHIU (GÖRGÉNY) MOUNTAINS: 3 – Fâncel-Lăpuşna (Fancsal), including cones a: Fâncel, b: Jirca (Nagy-Erdős), c: Bacta (Bakta); 4 – Obarsia (Széles-tető); 5 – Seaca-Tătarca (Mezőhavas); 6 – Borzont; 7 – Şumuleu (Somlyó), including cone a: Şumuleu (Nagy-Somlyó) and b: Vf. Ascutit (Somlyó hegyese); 8 – Ciumani (Csomafalvi Délhegy); NORTH HARGHITA (HARGITA) MOUNTAINS: 9 – Ostoroş (Osztoróc), including cone a: Ostoroş and b: Râchitis (Csíkmagosa); 10 – Ivo-Cocoizaş (Fertő-tető); 11 – Vârghiş (Madarasi-Hargita); SOUTH HARGHITA MOUNTAINS: 12 – Luci-Lazu (Nagykőbükk); 13 – Cucu (Kakukkhegy); 14 – Pilişca (Piliske); 15 – Ciomadul (Csomád)–Bicsad-Malnaş (Bükkszád-Málnás), including a: Ciomadul lava dome field, b: Murgul Mic (Kis-Murgó) and c: Murgul Mare (Nagy-Murgó) lava domes.
ST: SLÁNSKÉ MOUNTAINS: 1 – Sebastovka-Stavica (Sóvári-hegy); 2 – Zlatá Bana (Simonka); 3 – Makovica; 4 – Strechov (Mosnyik); 5 – Bogota (Dargói-hegy); 6 – Hradisko (Várhegy); 7 – Bradlo (Kőszál), 8 – Nagy-Milic (Velky Milic); 10 – Bába-hegy–Hársas-hegy (Lipovec); TOKAJ MOUNTAINS: 9 – Pál-hegy–Hollóháza; 11 – Vas-hegy–Őr-hegy; 12 – Borsó-hegy–Bán-hegy; 13 – Koprina (Pálháza-Telkibánya); 14 – Hallgató-hegy; (15 – Mogyoróska-Regéc); 16 – Magoska; 17 – Som-hegy (Kishuta-Pálháza); 18 – Sátor-hegyek; 19 – Nagy-Korsós; 20 – Tér-hegy–Szokolya (Erdőhorváti); 21 – Mogyorós-tető–Feketehegy (Komlóska); 22 – Molyvás-tető–Szokolya (Erdőbénye); 23 – Bogdán-tető (Mád-Diós); 24 – Tokaji Nagy-hegy.

In the 2003 paper, in equation (1) *momentums* and *forces* are added; however, this is in contrast to the accepted laws of physics. F_m in Nott's equations (cf. Nott 2003, equation 3) is a force, but the lever arm is missing in the equation. According to Nott, F_m shall include the acceleration of the water ($\ddot{u}$) around the boulder when the wave hits it. Therefore, $c/2$ represents the lever arm. There is also a discrepancy in the calculation of F_L: The wave hits the boulder at its front face *ac* and then submerges it. The dynamic uplifting force F_L must be calculated with the size of the upper area *ab*, instead of *bc*. Therefore, the equation

$$F_L = 0.5\,\rho u^2 (bc) C_L b/2 \tag{2a}$$

must be improved and should be replaced by

$$F_L = 0.5\,\rho u^2 (ab) C_L b/2 \tag{2b}$$

If Nott's equation is accepted then the dynamic uplifting force F_L would be independent of the length of the boulder "*a*", but from physics we know that all dynamic forces depend on the dimensions of the boulder. Therefore, in reality F_L increases proportionally to "*a*", in the same way as drag force F_D. A linear growth of the terms which are dependant on F_D and F_m with boulder length "*a*", while F_L remained constant, leads to an error in the final equation for the wave heights. In the corrected equation, the terms of the denominator F_L increases with boulder width "*b*", and F_D increases with boulder height "*c*". This is physically sound. Therefore, the corrected equations are as follows:

$$F_D c/2 + F_L b/2 \geq F_r b/2 - F_m c/2 \tag{3}$$

$$0.5\rho_w u^2 C_D ca\ c/2 + 0.5\rho_w u^2 C_L ab\ b/2 \geq (\rho_s - \rho_w)\ gabcb/2 - \rho_s abc C_m \ddot{u}\ c/2 \tag{4}$$

$$C_D u^2 c^2 a + C_L u^2 b^2 a \geq 2abcgb(\rho_s - \rho_w) / \rho_w - 2abcC_m \ddot{u}c(\rho_s / \rho_w) \tag{5}$$

$$u^2 \geq \frac{2abc\left[bg(\rho_s - \rho_w)/\rho_w - C_m \ddot{u}c(\rho_s/\rho_w)\right]}{C_D c^2 a + C_L b^2 a} \tag{6}$$

$$u^2 \geq \frac{2bc\left[bg(\rho_s - \rho_w)/\rho_w - C_m \ddot{u}c(\rho_s/\rho_w)\right]}{C_D c^2 + C_L b^2} \tag{7}$$

$$u^2 = \delta\, gH \qquad \text{[for tsunami: } \delta = 4\text{, for storm: } \delta = 1\text{; Nott 2003]} \tag{8}$$

$$\delta\, gH \geq \frac{2bc\left[bg(\rho_s - \rho_w)/\rho_w - C_m \ddot{u}c(\rho_s/\rho_w)\right]}{C_D c^2 + C_L b^2} \tag{9}$$

$$H_{TSU} \geq \frac{0.5bc\left[b(\rho_s - \rho_w)/\rho_w - \rho_s C_m \ddot{u}c/(\rho_w g)\right]}{C_D c^2 + C_L b^2} \tag{10}$$

direction, this would result in the submerged boulder being far more difficult to move onshore (in contrast to subaerial and joint bounded boulders).

4 *Estimation with the theorem of the conservation of energy:* $\sum E$ = *constant*

The application of the theorem of the conservation of energy offers another possibility of estimating transport methods of boulders. Because energy cannot be either created or destroyed but only transformed, this means that for processes in fluid dynamics the sum of the different fluid energies must be calculated as follows:

$$E_{kin(etic)} + E_{pot(ential)} + E_{h(eight)} = E_{tot(al)} = \text{constant} \tag{21}$$

After the impact of the wave against a boulder the situation around the boulder changes to a continuous flow: Once the boulder is submerged, velocity (u) becomes increasingly constant. This is especially the case with tsunamis, resulting in the condition of stationary flow being given because the water is streaming continuously inland for several minutes. Estimations can be made regarding the amount of kinetic energy of this mass of flowing water. In order to simplify calculations, a constant velocity is assumed over the whole time period (and only the energy of that mass of water is acting at the boulder that passes the area "*ac*").

$$E_{kin} = 0.5mu^2 = 0.5\rho acutu^2 \tag{22}$$

The kinetic energy is transformed into vertical energy (relevant to height) when the boulder is uplifted for a height H. Further, it must also cover the energy loss due to friction since the boulder is transported along the beach at the same time.

$$E_h = \text{force} \times \text{distance} = (F_G - F_w)H_{Hub} = V_{Bl}(\rho_{Bl} - \rho_w)gH_{Hub} \tag{23}$$

$$E_{f(riction)} = F_R X = \mu(F_G - F_w)X = \mu V_{Bl}(\rho_{Bl} - \rho_w)gX \tag{24}$$

$$\sum E = \text{constant}, \quad E_{kin} = E_h + E_f \tag{25}$$

$$0.5\rho Au^3 t = (F_G - F_w)H_{Hub} + (F_G - F_w)\mu X = (F_G - F_w)H_{Hub}\left[1 + \frac{\mu}{\sin\alpha}\right] \tag{26}$$

$$\sin\alpha = \frac{H_{Hub}}{X}$$

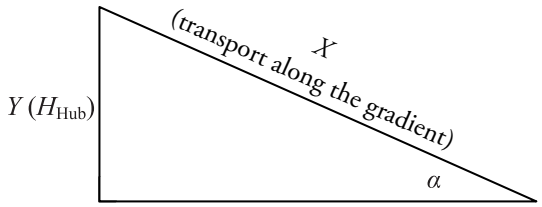

Table 1. Basic features of the deposited area during 2000 eruption at Nishiyama crypto-dome, Usu-volcano. NA= not available.

Parameters \ Plots	P-1	P-2	P-3	P-4	U
Distance from the nearest vent mouth (m)	30	15	20	50	2000
Surface sediment color	Dark brown	Reddish	Brown	Reddish Brown	Dark Brown
Surface maximum sediment size (cm)	50	15	175	30	7
Sediment profile depth (cm)	100	120	120	120	100
Volumetric water content (%)	31.06	36.92	40.13	35.46	NA
Average soil pH	5.62	4.21	7.59	6.80	NA
% vegetation cover	35	<1	<1	<1	85
No. of tree stumps	7	0	0	2	NA

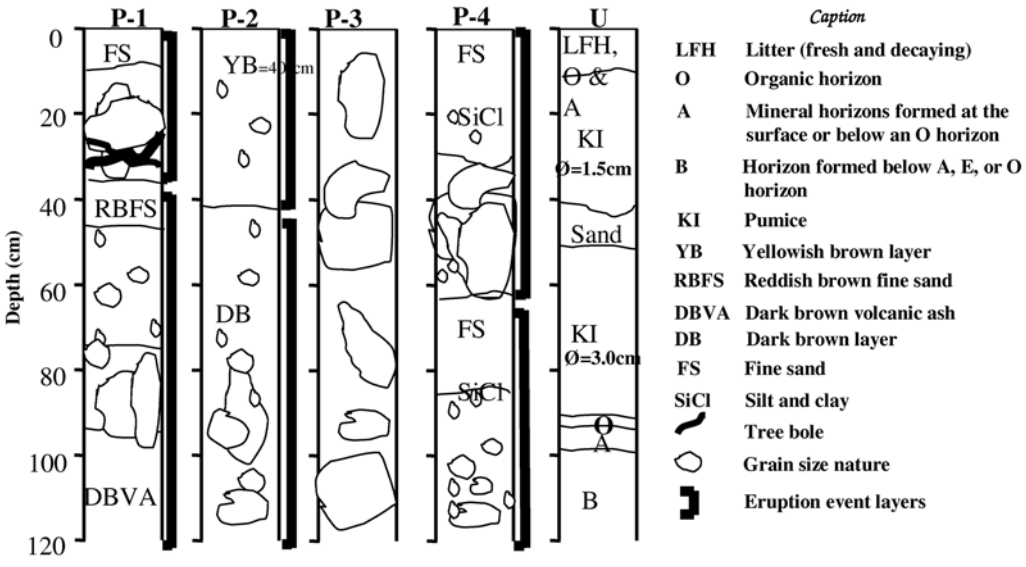

Fig. 3. Representative sediment deposition layers at P-1 to P-4 and U representing various sediment deposition features.

Porten's Hotel Fernblick

Höchenschwand

5552

★★★ S

Komfort

Von unserem Ferienhotel, auf einem Hochplateau (1.015 m) gelegen, haben Sie herrliche Weitsicht in die Schweiz und das benachbarte Elsass. Badische Spezialitäten, ein originelles Scheunenfest innerhalb der Halbpension und die hauseigene Tanzkapelle sorgen für gute Laune. Nur wenige Kilometer entfernt lockt der Dom zu St. Blasien mit der drittgrößten Kuppel Europas.
NEU: ¾ Pension = HP + 1 Tasse Kaffee + 1 Stk. Kuchen oder inkl. Imbiss oder 1 Lunchpaket.

From our vacation hotel, located on a plateau at an altitude of 1,015 m, there is a wonderful view towards Switzerland and the Alsace. Specialties of Baden, a fancy barn party offered with your half-board arrangement and the hotel's own band will put you in good spirits. Only a few kilometres away, you'll find the cathedral of St. Blasien with its third largest dome of Europe.
NEW: ¾ board = half-board + 1 cup of coffee + 1 piece of cake or snack or lunch pack included.

Une vue magnifique sur la Suisse et l'Alsace se présente de notre hôtel de vacances situé sur un plateau à une altitude de 1.015 m.
Les spécialités badoises, une fête de grange originelle compris dans votre demi-pension et la chapelle de l'hôtel vous offrent leurs divertissements. A peu de kilomètres se trouve le dôme de St. Blasien avec sa coupole, en 3è position en Europe pour sa taille.
NOUVEAUTE: ¾ pension = demi-pension + 1 tasse de café + 1 morceau de gâteau ou collation ou casse-croûte.

Dal nostro albergo situato su un altopiano (1.015 m) avrete una bellissima vista panoramica sulla Svizzera e sulla vicina regione di Alsazia. Le specialità della regione di Baden, la festa originale del fienile compresa nella mezza pensione e l'orchestra da ballo garantiscono il buon umore. Da visitare: soltanto a pochi chilometri si trova il duomo di St. Blasien con la cupola, la terza in ordine di grandezza in Europa.
NUOVO: ¾ pensione = mezza pensione + 1 tazza di caffè + 1 torta oppure compreso lo spuntino oppure il pacchetto da portare via.

60 · 23 · 14

TV ✓ · DIÄT · LIFT ✓ · P ✓ · BAR ✓ · S ✓ · R · SCH ✓

PREZZI PER GRUPPI per persona / notte				
Camera 2 letti/ bagno/doccia priv.	Pernottam. con prima colaz.	Suppl. mezza pensione	Suppl. pens. completa	Suppl. camera singola
da	38,50	13,–	16,50	0,–
Posti gratuiti:	da 20 pers. = 1; da 40 pers. = 2			

Hotel Alpenpanorama

Höchenschwand

5551

Unser familiär geführtes Haus liegt im Süden des Schwarzwaldes in Höchenschwand. Von unserem Haus aus genießen Sie einen herrlichen Panoramablick in die Rheinebene bis zu den Schweizer Alpen. In unserem Restaurant verwöhnen wir Sie mit regionalen Spezialitäten. Wir verfügen des weiteren über einen großen Wellnessbereich mit Schwimmbad, Sauna und Solarium.

Our family-managed house is located in the south of the Black Forest in Höchenschwand. Enjoy the wonderful panorama sight on the Rhine valley up to the Swiss Alps. Our restaurant offers you regional specialties. We also have a large wellness area with swimming pool, sauna and solarium.

Notre maison à gestion familiale est située au sud de la Forêt-Noire à Höchenschwand. Réjouissez la vue panoramique sur la vallée du Rhin jusqu'aux Alpes suisses. Savourez les spécialités régionales de notre restaurant. Nous vous offrons également notre domaine de bien-être avec piscine, sauna et solarium.

Il nostro albergo a gestione famigliare è situato al sud della Foresta Nera a Höchenschwand. Dalla nostra casa avrete una meravigliosa vista panoramica sulla pianura del Reno fino alle Alpi svizzere.
Particolarmente curata la cucina nel nostro ristorante con le sue specialità regionali. Ampie strutture Wellness con la piscina, la sauna ed il solarium.

100 · 40 · 20

TV ✓ · DIÄT ✓ · LIFT ✓ · P ✓ · BAR ✓ · S ✓ · R · SCH ✓

PREISE FÜR GRUPPENREISEN pro Person / Nacht				
DZ/Dusche/ WC	Übern./ Frühstück	Zuschlag Halbpens.	Zuschlag Vollpens.	Zuschlag EZ
ab	28,50	13,50	21,–	9,–
Freiplätze:	ab 21 Pers. = 1; ab 42 Pers. = 2			

Inhaltsverzeichnis

Kategorie	Inhalt	Seite
Das Unternehmen	Unternehmens-Chronologie / Produktspektrum	2-3
USV-Klassifizierung	USV-Klassifizierung / Technologie	4-5
AC-USV Line-Interactive 400 - 3200 VA	ME-Serie	6-7
	MI-RM-Serie	8-9
	MTD-Serie NEU / NEW	10-11
	MTD-RM-Serie NEU / NEW	12-13
	MT-Serie	14-15
	MT-RM-Serie	16-17
AC-USV Online Dauerwandler 700 - 3000 VA	MKD-Serie	18-19
	MKD-RM-Serie	20-21
	MH/MHD-Serie	22-23
	MH-RM/MHD-RM-Serie	24-25
AC-USV Großanlagen 6 - 300 kVA	MH 6000	26-27
	MH 6000 RM	28-29
	MHD 10-20 kVA	30-31
	MHD RM 10 kVA NEU / NEW	32-33
	Quasar II NEU / NEW	34-35
	Quasar 60-120 kVA	36-37
	Pegasus 10-40 kVA	38-39
	Pegasus 60-160 kVA	40-41
	Pegasus 200-300 kVA	42-43
AC-USV Modulare Großanlagen 4 - 120 kVA	MHD Modular	44-47
	MHD Modular P3 NEU / NEW	48-49
USV-Management	Software	50-51
	SNMP / Web-Adapter	52-53
Zubehör	Externer Bypass	54
	Batterieschränke	55
Batterien	Batterien BT	56-57
	Batterien BTL	58-59
	Batterien Frontterminal	60
	Terminaltypen	61
	BACS Batteriemanagement	62-69
AC/DC Stromversorgungen, Ladegeräte / Gleich-, Wechselrichter	DC-USV Hutschiene	70-71
	Modulare DC Stromversorgungssysteme 48-60 V	72-87
	Modulare DC Stromversorgungssysteme 108-220 V	88-91
	EFFEKTA Charger NEU / NEW	92-93
	Mascot Netzgeräte, Ladegeräte, Wandler	94-95
	Solarwechselrichter NEU / NEW	96-97
	Solar-Log™ NEU / NEW	98-99
	Mobile Wechselrichter WRI NEU / NEW	100-101
	Mobile Wechselrichter WRS	102-103
Sondergeräte	Sondergeräte AC / DC	104-105
Service	Service	106-107
Referenzen	Referenzen	108-109
AGB's	AGB's	110

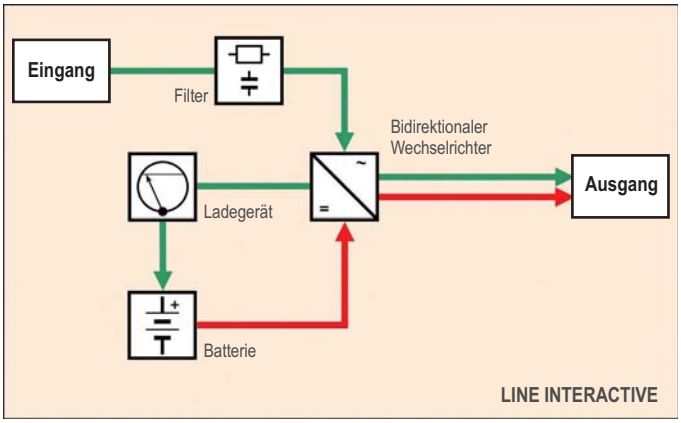

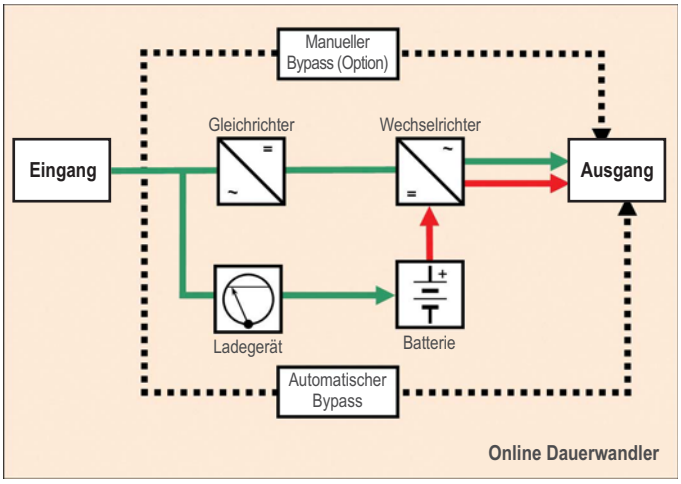

Line-Interactive-Systeme (VI)

- Geringe Umschaltzeit
- Bidirektionaler Wechselrichter
- Ausgangsspannung vorwiegend SINUS / teilw. RECHTECK
- Gutes Preis-/Leistungsverhältnis
- Booster-Funktion

Einsatzgebiete:

- TK-Anlagen
- CAD-Systeme
- SPS-Anlagen
- Kleine Server

Modelle:

- ME-Serie
- MI-RM-Serie (19")
- MT-Serie
- MT-RM-Serie (19")
- MTD
- MTD-RM

Online Dauerwandler (VFI)

- Sicherste USV-Technologie
- Schutz vor allen leitungsgebundenen Störungen
- Stabile Ausgangsspannung
- Keine Umschaltzeit
- Bypass-Funktion

Einsatzgebiete:

- TK-Anlagen
- Server
- Meßsysteme
- Medizinische Geräte (nicht lebenserhaltend!)
- Kritische Industrie- / EDV-Anwendungen

Modelle:

- MH-Serie / MH-RM-Serie (19")
- MHD-Serie / MHD-RM-Serie (19")
- MKD-Serie / MKD-RM-Serie (19")
- Pegasus
- Quasar
- Quasar II

MTD-Serie

NEU / NEW

MTD 1000
Links: Front
Rechts: Rückansicht

Beschreibung

Die MTD ist EFFEKTA®'s Weiterentwicklung der bewährten Line-interaktiven MT-Serie.
Sie schützt empfindliche Verbraucher vor Stromausfällen, Spikes und anderen Stromstörungen. Ihren Einsatz findet dieses Gerät als Absicherung für Computer, Telekommunikationsanlagen und andere rechnergestützte Systeme.
Die kompakte und stabile Bauform wurde mit einem komfortablen LCD Display zur einfacheren Bedienung ergänzt.

Eigenschaften

- USV-Klassifizierung VFI-SS-311 nach IEC 62040-3
- Line-Interactive-Technologie
- Benutzerfreundliches LCD-Display
- Sinusausgang
- Mikroprozessorsteuerung
- Automatische Frequenzerkennung
- RS-232 serienmäßig
- Einschub für optionale Adapter: Relais-Karte, Optokoppler, USB oder SNMP
- Software-Suite PowerShut für USV Management unter fast allen gängigen Betriebssystemen
- 36 Monate Gewährleistung

Option: XL-Version mit Möglichkeit zur einfachen Erweiterung der Autonomiezeit durch externe Batteriepacks

Bild links: Übersichtliches Bedienpanel mit hintergrundbeleuchtetem LCD Display

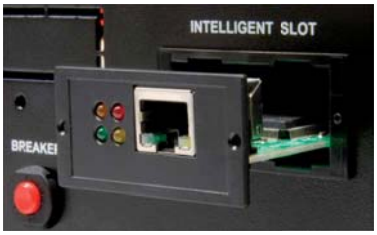

Die MTD ist serienmäßig mit einer RS-232 Einschubkarte versehen, welche durch optionale Adapter ersetzt werden kann: Relais-Karte, Optokoppler, USB oder SNMP.

Technische Daten

Technische Daten

Modell			MTD 1000	MTD 1500	MTD 2000
Leistung	Leistung in VA		1000	1500	2000
	Leistung in W		625	938	1250
Überbrückungszeit	100 % Last		6 min	6 min	4 min
	50 % Last		15 min	15 min	9 min
Eingang	Nennspannung		230 VAC		
	Eingangsspannungsbereich		170~300 VAC		
	Eingangsfrequenzbereich		45~70 Hz Auto Sensing		
	Boost Startschwelle / Abschaltung		195,5 VAC ± 2% / 205,5 VAC ± 2%		
	Buck Startschwelle / Abschaltung		264,5 VAC ± 2% / 254,5 VAC ± 2%		
	Unterspannung Warnschwelle / Entwarnung		170 VAC ± 2% / 180 VAC ± 2%		
	Überspannung Warnschwelle / Entwarnung		300 VAC ± 2% / 290 VAC ± 2%		
Ausgang	Ausgangsspannung		Am LCD Display einstellbar 220, 230, 240 VAC		
	Spannungstoleranz	Line Mode	± 15%		
		Battery Mode	< 3% RMS		
	Frequenztoleranz	Line Mode	50 Hz oder 60 Hz		
		Battery Mode	± 0,1 Hz		
	Power Faktor		0,625		
	Spannungsform		Sinus		
	Wirkungsgrad		> 80%		
DC Start	Kaltstart		Ja		
Umschaltzeit	typisch		< 4 msek.		
Batterie	Nennspannung		24 VDC	36 VDC	36 VDC
	Anzahl Blöcke x Nennkapazität/Block		4 x 9 Ah	3 x 9 Ah	3 x 9 Ah
	Typ		Verschlossene, wartungsfreie Blei-Vlies-Akkus		
	Lebenserwartung		Ca. 5 Jahre (abhängig von Umgebungsbed.) optional 10 Jahre		
	Ladezeit		Ca. 5 h auf 90%		
Display	LCD		USV-Typ, USV-Status, In-/Output Spannung / Frequenz, Last, Batt.-Spg./Kapaz., Temperatur		
	LED		Normal (Grün) / Warning (Orange) / Fault (Rot)		
Akkustischer Alarm	Batteriebetrieb		Ton alle 4 Sekunden		
	Battery Low		Ton jede Sekunde		
	USV-Störung		Ununterbrochener Ton		
	Überlast		Ton 2 x je Sekunde		
Schnittstellen	Karteneinschub		Serienmäßig mit RS 232-Schnittstelle bestückt. Optional erhältliche Karten: USB, Relais, AS400, SNMP, Modbus		
Umgebungsbed.	Temperatur		0°C – 40°C		
	Luftfeuchtigkeit		0-95% nicht kondensierend		
	Betriebs-Höhe		< 2000 m ü.d.M.		
	Betriebsgeräusch		< 55 dBA @ 1 m		
Mechanisch	Gehäuse		Stahlblech-Tower / Front Kunststoff		
	Schutzklasse		IP 20		
	Maße (H x B x T in mm)		210 x 145 x 380	210 x 145 x 445	210 x 145 x 445
	Gewicht		16,5 kg	17,5 kg	22,5 kg
Anschlüsse	Eingang		1 x IEC (10 A)		
	Ausgang		3 x IEC	6 x IEC	
	DC-Anschlüsse (für Batterieerweiterung)		Nur XL-Versionen		
Schutz/Norm	Standards		EN62040-1-1		
	EMS		EN62040-2		
	Normen		CE		

5. Наше Возрождение

Так как Христос на кресте взял на Себя грех, отделявший человека от Бога, и так как Он стал Животворящим Духом, человек теперь может принять в свой дух Божью вечную жизнь. Библия называет это возрождением, или же рождением свыше[14]. Тому, кто хочет возродиться, нужно осознание своей греховности. Кроме того, он должен искупительное дело, совершённое Христом, принять верой[15], открыто и честно сказав Иисусу Христу, например:

«Господь Иисус, я — грешник. Я нуждаюсь в Тебе. Благодарю Тебя за то, что Ты умер вместо меня. Господь Иисус, прости меня и очисти меня от всех моих грехов. Я верю, что Ты воскрес из мёртвых; я принимаю Тебя сейчас как своего Спасителя и как свою жизнь. Войди теперь в меня и наполни меня Твоей жизнью! Господь Иисус, направляй меня согласно Твоему замыслу».

6. Завершённое Дело Спасения Божьего

Вслед за спасением и возрождением идёт крещение[16]. Тогда Бог, до этого момента обитавший лишь в духе верующего, начинает распространяться на его душу и жить там[17]. Этот процесс, называемый в Библии спасением, преобразованием или обновлением души[18], продолжается всю жизнь и требует содействия с нашей стороны[19], когда мы позволяем Господу распространиться на нашу душу, пока наши желания, мысли и решения не придут в соответствие с Ним. Когда Христос вернётся, Бог также полностью проникнет Своей жизнью и в тело верующего. Человек, прежде бывший для Бога пустым и порочным, будет тогда возвращён к изначальному Божьему определению и будет прославлен, как об этом написано в Библии[20].

---

[14] 1 Петра 1:3; Иоанна 3:3
[15] Деяния 16:31
[16] Марка 16:16
[17] Ефесянам 3:17
[18] 1 Петра 1:9; Римлянам 12:2
[19] Филиппийцам 2:12-13
[20] Филиппийцам 3:21

© Verlag ›Der Strom‹ , Filderhauptstraße 61C, 70599 Stuttgart, Tel.: 07 11 / 4 56 97 58
www.verlagderstrom.de

russ. Der Sinn des menschlichen Lebens.

Каждый из нас хотя бы однажды задавался вопросом, почему он живёт в этом мире, и в чём смысл его жизни. В приведенных ниже шести пунктах сжато описан Божий план для нашей жизни, согласно Библии. Если мы его поймём, то получим ответ на этот вопрос.

1. Божий План

У Бога есть желание проявлять Себя через человека. Поэтому Он и создал человека по Своему собственному образу[1]. Как, например, перчатка сделана в соответствии с формой человеческой руки, так и человек был создан по образу Божьему. И как перчатка вмещает в себя руку и приводится ею в движение, так и человек создан для того, чтобы приняв Бога, наполниться Им и направляться Им.

2. Человек

Бог создал человека подобно сосуду[2] с тремя составляющими: телом, душой и духом[3].

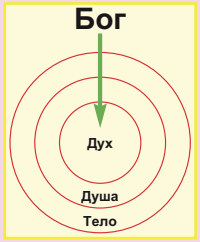

Тело — осязаемо, оно соприкасается с материальным миром и воспринимает материальное. Благодаря способностям души (греч. «психо») мы развиваем отношения с другими людьми, мы размышляем, чувствуем, задумываем и обрабатываем то, что ощущаем и воспринимаем. Внутреннейшая сокровенная часть человека — его дух (не то же самое, что разум, относящийся к душе), был создан Богом с намерением, что человек примет Его туда и будет там, в духе, иметь связь, общение с Ним, будет там поклоняться Ему[4]. Итак, человек был создан с целью принять в свой дух Бога, Который является Духом. Человек может строить настоящие отношения с Богом и выражать Его только тогда, когда Бог поселится в его духе.

3. Падение Человека

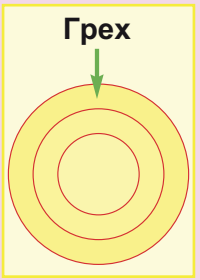

Сначала человек был создан нейтральным: Дух Божий всё ещё не обитал в нём. До того, как Бог, являющийся Духом и Жизнью вечной, мог войти в человеческий дух, в человека вошёл грех[5].

Из-за греха его дух умер[6] и человек лишился связи с Богом. Его душа, всё его мышление оказалось безразличным, и даже настроенным враждебно по отношению к Богу, его Творцу, а его тело превратилось в греховную плоть[7]. Таким образом грех испортил всего человека: его тело, душу и дух, сделав его отчуждённым от Бога. Дух человека теперь оказался бездейственным, мёртвым в глазах Бога. В таком состоянии мы находимся сегодня. Ясно, что с таким человеком Бог не мог соединиться, перед этим должно было совершиться нечто.

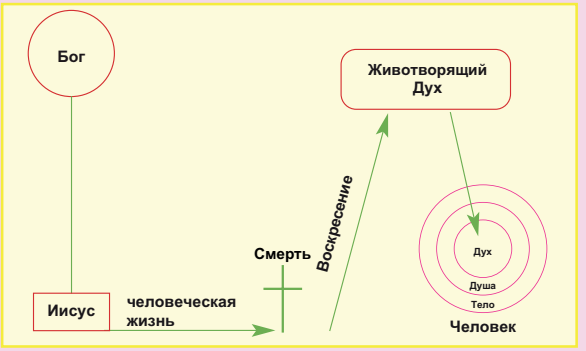

4. Христос Совершил Искупление, Посредством Которого Бог Мог Войти В Человека

Падение человека не могло воспрепятствовать Богу в осуществлении Его изначального плана. Он любил человека, но не мог просто не замечать греха, поскольку Он — справедлив. Поэтому Он Сам стал в Иисусе Христе человеком[8], умер на кресте вместо нас, чтобы нас искупить[9], Сам приняв на Себя наши грехи[10] и Своей смертью покончив с ними, чтобы открыть нам путь к Богу[11]. Восстав из мёртвых, Он стал Животворящим Духом[12] и теперь может каждому из нас дать Свою божественную вечную жизнь[13], так чтобы мы могли переживать Его.

---

[1] Бытие 1:26
[2] Римлянам 9:21-24; 2 Коринфянам 4:7
[3] 1 Фессалоникийцам 5:23
[4] Иоанна 4:24
[5] Римлянам 5:12
[6] Ефесянам 2:1
[7] Бытие 6:3
[8] Иоанна 1:1,14
[9] Ефесянам 1:7
[10] Иоанна 1:29
[11] Ефесянам 2:13,18
[12] 1 Коринфянам 15:45
[13] Иоанна 20:22; 3:6

El Borracho

KB! Teutonia

Eintritt: 3,00 €

Fr. 11.11.11
Einlass 20.00 Uhr
Eintritt frei bis 22.00 Uhr
Parkstraße 1

DJ Marco Mora
Resident Airport Würzburg

Getränkespecials:

Longdrinks 3,50 €
Bier 2,00 €
Shots 1,00 €
Wodkarutsche

Frauen erhalten einen Willkommens-Sekt

Beispiel für Dia-Restaurierung:

Originalscan

Restauriertes Dia

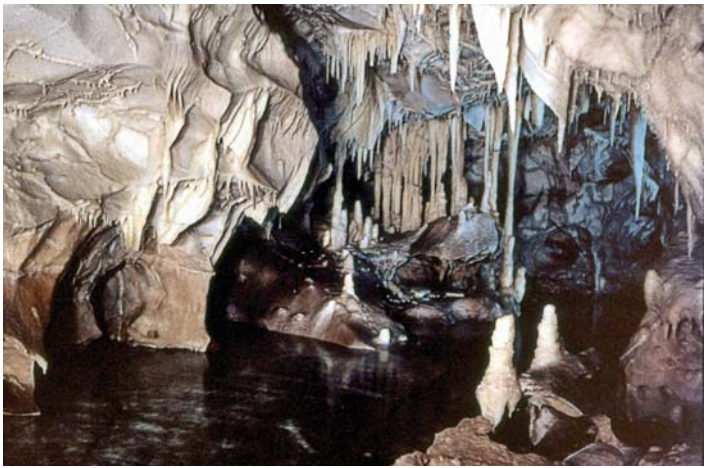

Home